

文章编号: 1000-324X(2012)07-0687-06

DOI: 10.3724/SP.J.1077.2012.11490

## $\gamma$ -Bi<sub>2</sub>O<sub>3</sub>/TiO<sub>2</sub> 复合纤维的制备及光催化性能

李跃军<sup>1,2</sup>, 曹铁平<sup>2</sup>, 邵长路<sup>1</sup>, 王长华<sup>1</sup>

(1. 东北师范大学 先进光电子功能材料研究中心, 长春 130024; 2. 白城师范学院 化学系, 白城 137000)

**摘要:** 采用静电纺丝技术与溶剂热法相结合制备了  $\gamma$ -Bi<sub>2</sub>O<sub>3</sub>/TiO<sub>2</sub> 复合纤维光催化材料。利用 X 射线衍射(XRD)、扫描电镜(SEM)、电子能谱(EDS)、透射电镜(TEM)、高分辨透射电镜(HRTEM)和紫外-可见吸收光谱(UV-Vis)等分析测试手段对材料进行了表征, 并以罗丹明 B(RB)的脱色降解为模式反应, 考察了材料的可见光催化性能。结果表明:  $\gamma$ -Bi<sub>2</sub>O<sub>3</sub> 纳米片均匀地生长在 TiO<sub>2</sub> 纤维上, 形成了具有异质结构的  $\gamma$ -Bi<sub>2</sub>O<sub>3</sub>/TiO<sub>2</sub> 复合纤维光催化材料, 其光谱响应范围拓宽至可见光区, 有利于 TiO<sub>2</sub> 光生电子和空穴的分离, 增强了体系的量子效率。与纯 TiO<sub>2</sub> 纤维相比可见光催化活性明显提高, 对 RB 的脱色率达 87.8%。

**关键词:** 静电纺丝; 溶剂热法;  $\gamma$ -Bi<sub>2</sub>O<sub>3</sub>/TiO<sub>2</sub> 复合纤维; 光催化

中图分类号: O643 文献标识码: A

## Preparation and Photocatalytic Properties of $\gamma$ -Bi<sub>2</sub>O<sub>3</sub>/TiO<sub>2</sub> Composite Fibers

LI Yue-Jun<sup>1,2</sup>, CAO Tie-Ping<sup>2</sup>, SHAO Chang-Lu<sup>1</sup>, WANG Chang-Hua<sup>1</sup>

(1. Centre for Advanced Optoelectronic Functional Material Research, Northeast Normal University, Changchun 130024, China;  
2. Department of Chemistry, Baicheng Normal College, Baicheng 137000, China)

**Abstract:** Heterostructured  $\gamma$ -Bi<sub>2</sub>O<sub>3</sub>/TiO<sub>2</sub> composite fibers were prepared via combination of solvothermal method and electrospinning technique. X-ray diffraction (XRD), scanning electron microscope (SEM), energy dispersive spectrometer (EDS), transmission electron microscope (TEM), high-resolution transmission electron microscope (HRTEM) and UV-Vis absorption spectra were used to characterize heterostructured  $\gamma$ -Bi<sub>2</sub>O<sub>3</sub>/TiO<sub>2</sub> composite fibers. The photocatalytic properties of the heterostructured samples were evaluated by degrading rhodamine B (RB) under visible light irradiation. The results showed that  $\gamma$ -Bi<sub>2</sub>O<sub>3</sub> nanosheets could evenly grow on the TiO<sub>2</sub> fibers surface and thus heterostructured  $\gamma$ -Bi<sub>2</sub>O<sub>3</sub>/TiO<sub>2</sub> composite fibers were successfully obtained. The absorption range of the as-obtained heterostructured samples were extended to the visible light region. Moreover, the presence of  $\gamma$ -Bi<sub>2</sub>O<sub>3</sub> nanostructures/TiO<sub>2</sub> fibers heterostructures was beneficial to separation of photo-generated electrons and holes which enhanced the system's quantum efficiency. In comparison with that of pure TiO<sub>2</sub> nanofibers, the  $\gamma$ -Bi<sub>2</sub>O<sub>3</sub>/TiO<sub>2</sub> heterostructures have enhanced photocatalytic efficiency under visible light irradiation, and the decolorizing efficiency of RB solution can reach 87.8%.

**Key words:** electrospinning; solvothermal method;  $\gamma$ -Bi<sub>2</sub>O<sub>3</sub>/TiO<sub>2</sub> composite fibers; photocatalytic degradation

---

收稿日期: 2011-08-05; 收到修改稿日期: 2011-10-28

基金项目: 国家自然科学基金(50572014, 50972027); 教育部新世纪优秀人才支持计划(NCET-05-0322); 吉林省科技发展计划(201205034)

National Natural Science Foundation of China (50572014, 50972027); New Century Excellent Talents in University (05-0322); Development Project of Science and Technology of Jilin Province (201205034)

作者简介: 李跃军(1964-), 男, 副教授. E-mail: bcljy@yahoo.com.cn

通讯作者: 邵长路, 教授. E-mail: clshao@nenu.edu.cn

在众多半导体光催化材料中,  $\text{TiO}_2$  具有高稳定性、无毒、降解完全、无二次污染和低成本等优点, 在污染物降解方面具有明显的优势和广泛的应用, 是最具有发展前景的半导体光催化材料<sup>[1-3]</sup>。但  $\text{TiO}_2$  有两个不足: 一是带隙较宽(锐钛矿  $E_g=3.2\text{ eV}$ ), 只能吸收  $\lambda<387.5\text{ nm}$  的紫外光, 太阳光利用率低; 二是光生电子与空穴容易复合, 光量子效率差<sup>[4-5]</sup>。目前, 研究人员通常采用贵金属沉积、离子掺杂、染料敏化和半导体复合等方法对  $\text{TiO}_2$  进行修饰改性以提高光催化性能, 其中半导体复合是一种非常有效的方法。利用带隙不同的半导体进行复合, 不仅可以使光生载流子在不同能级半导体之间输运, 而且还能得到有效分离, 延长其寿命, 拓宽光谱响应范围, 从而提高材料的光催化活性<sup>[6-7]</sup>。

$\text{Bi}_2\text{O}_3$  是一种先进的功能材料, 具有  $\alpha$ 、 $\beta$ 、 $\gamma$ 、 $\delta$ 、 $\epsilon$  及  $\omega$  等多种晶体形态, 带隙从  $\beta\text{-}\text{Bi}_2\text{O}_3$  的  $2.58\text{ eV}$  到  $\alpha\text{-}\text{Bi}_2\text{O}_3$  的  $2.85\text{ eV}$  不等, 属于窄带隙半导体氧化物<sup>[8-9]</sup>。在室温下只有  $\alpha\text{-}\text{Bi}_2\text{O}_3$  能稳定存在。当  $\alpha\text{-}\text{Bi}_2\text{O}_3$  被加热超过  $730^\circ\text{C}$  时将发生相变, 转化为高温相  $\delta\text{-}\text{Bi}_2\text{O}_3$ , 而  $\delta\text{-}\text{Bi}_2\text{O}_3$  只能在  $730^\circ\text{C}$  以上存在。在高温相  $\delta\text{-}\text{Bi}_2\text{O}_3$  降温的过程中, 由于热迟滞作用, 分别在  $650^\circ\text{C}$  左右转变为  $\beta\text{-}\text{Bi}_2\text{O}_3$ 、 $639^\circ\text{C}$  转变为  $\gamma\text{-}\text{Bi}_2\text{O}_3$ , 并最终转变为  $\alpha\text{-}\text{Bi}_2\text{O}_3$ <sup>[10-11]</sup>。

Wang 等<sup>[12]</sup> 制备了  $\beta\text{-}\text{Bi}_2\text{O}_3$  纳米线并对其光催化性能进行了研究, 结果表明  $\beta\text{-}\text{Bi}_2\text{O}_3$  纳米线具有较好的光催化活性。Bessekhouad 等<sup>[13]</sup> 将  $\alpha\text{-}\text{Bi}_2\text{O}_3$  与  $\text{TiO}_2$  相复合, 并研究  $\alpha\text{-}\text{Bi}_2\text{O}_3$  对  $\text{TiO}_2$  光催化活性的影响, 发现  $\alpha\text{-}\text{Bi}_2\text{O}_3/\text{TiO}_2$  复合氧化物具有良好的催化活性。邹文等<sup>[14]</sup> 分别制备了  $\alpha$ 、 $\beta$ 、 $\gamma$  三种晶体结构的  $\text{Bi}_2\text{O}_3$ , 在可见光条件下进行 RB 降解实验, 结果表明  $\gamma\text{-}\text{Bi}_2\text{O}_3$  具有最好的可见光催化活性。 $\gamma\text{-}\text{Bi}_2\text{O}_3$  化学稳定性良好、无毒, 是一种理想的光催化材料<sup>[15-17]</sup>。本工作以静电纺丝技术制备的  $\text{TiO}_2$  纤维为基质模板, 在  $\text{Bi}(\text{NO}_3)_3$  的水-乙二醇混合溶液中, 通过溶剂热法制备了具有异质结构的  $\gamma\text{-}\text{Bi}_2\text{O}_3/\text{TiO}_2$  复合纤维光催化材料, 并对异质结的形成机理和可见光催化性能进行探讨。

## 1 实验部分

### 1.1 试剂与仪器

聚乙烯吡咯烷酮(PVP,  $M_s=1300000$ , CP, 北京益利精细化学品有限公司); 钛酸正丁酯 [ $\text{Ti}(\text{OBu})_4$ , AR, 上海昆行化工科技有限公司]; 硝酸铋 [ $\text{Bi}(\text{NO}_3)_3\cdot5\text{H}_2\text{O}$ , AR, 北京益利精细化学品有限公

司]; 乙二醇、无水乙醇、冰醋酸(均为 AR, 北京化工厂)。

材料的物相表征采用 Rigaku D/max 2500V PC X 射线衍射仪(XRD 日本理学), X 射线源为  $\text{Cu K}\alpha$  线, 扫描速度为  $2^\circ/\text{min}$ , 波长  $\lambda=0.15405\text{ nm}$ , 加速电压为  $40\text{ kV}$ , 电流为  $40\text{ mA}$ , 采用陈列探测器, 扫描范围  $20^\circ\sim60^\circ$ , 步宽为  $0.02^\circ$ 。材料的形貌在 Hitachi S-570(15 kV) 场发射扫描电子显微镜(FESEM, 日本日立公司)上进行表征, 并配接有电子能谱(EDS), 加速电压为  $15\text{ kV}$ 。材料的结构和形貌通过高分辨透射电子显微镜(HRTEM, JEOL JEM-2010, 加速电压  $100\text{ kV}$ )表征。采用美国 Varian 公司的 Cary 500 紫外-可见-近红外光谱仪(UV-VIS-NIR)测定 RB 溶液的吸光度。静电纺丝在自行组装的静电纺丝装置上进行。

### 1.2 实验过程

#### 1.2.1 $\text{TiO}_2$ 纤维的制备

取  $1.0\text{ g PVP}$  溶解在  $10\text{ mL}$  无水乙醇中, 磁力搅拌  $4\text{ h}$ , 制得溶液 A。将  $1.5\text{ mL}$  钛酸正丁酯 [ $\text{Ti}(\text{OBu})_4$ ] 边搅拌边缓慢滴加到  $3\text{ mL}$  无水乙醇和  $3\text{ mL}$  冰醋酸的混合溶液中, 继续搅拌  $30\text{ min}$ , 制得溶液 B。室温下将溶液 B 缓慢滴加到溶液 A 中, 强力搅拌  $2\text{ h}$ , 制得 PVP/ $\text{Ti}(\text{OBu})_4$  溶胶。

静电纺丝装置主要有三部分组成: 静电高压电源、液体供给装置和纤维收集装置。将适量的 PVP/ $\text{Ti}(\text{OBu})_4$  溶胶注入液体供给装置(注射器)中, 金属电极探入前端毛细管内。调节注射器倾斜角度与水平面大约成  $45^\circ$ 。毛细管尖端与接收板的距离为  $15\text{ cm}$ , 施加  $12\text{ kV}$  的电压。接收时间为  $5\text{ h}$ , 得到一层纤维毡。真空干燥  $24\text{ h}$  后取出平铺在方舟内, 置于马弗炉中加热, 升温速度为  $4^\circ\text{C}/\text{min}$ 。当温度上升至  $500^\circ\text{C}$ , 恒温  $10\text{ h}$ , 制得  $\text{TiO}_2$  纤维。

#### 1.2.2 光催化材料的制备

称取  $0.015\text{ g Bi}(\text{NO}_3)_3\cdot5\text{H}_2\text{O}$  溶于  $20\text{ mL}$  水和乙二醇(体积比为 1:1)的混合溶液中, 待其完全溶解。转移到  $25\text{ mL}$  聚四氟乙烯反应釜中, 再加入  $0.01\text{ g}$   $\text{TiO}_2$  纤维, 密封后置于烘箱中  $180^\circ\text{C}$  加热  $12\text{ h}$ 。自然冷却至室温, 用蒸馏水和乙醇清洗若干次, 置于烘箱中  $80^\circ\text{C}$  干燥  $10\text{ h}$ , 制得复合纤维光催化材料。

#### 1.2.3 光催化反应

光催化反应装置为自制, 该反应装置的最外管是普通玻璃材料, 用于盛放反应液, 中管和内管是石英玻璃材料, 中管外接冷却水以冷却光源发出的热量, 光源置于内管中。光源为  $150\text{ W}$  氙灯(配备波长大于  $420\text{ nm}$  滤光片)。将  $0.02\text{ g}$  催化剂材料加入

新配制的 100 mL 罗丹明 B ( $C_0=1.0\times10^{-5}$  mol/L) 水溶液中, 室温下搅拌 30 min, 使催化剂在反应液中分散均匀。然后, 插入光强度稳定的光源, 反应过程中剧烈搅拌, 温度保持在(20±2)℃, 反应装置的外管与空气相通, 每隔 1 h 取样, 用紫外–可见–近红外光谱仪检测 RB 浓度变化, 其最大吸收波长为 554 nm。

## 2 结果与讨论

### 2.1 XRD 分析

图 1 是 TiO<sub>2</sub> 纤维和复合纤维材料的 XRD 图谱。由图 1 a 可见, TiO<sub>2</sub> 纤维在  $2\theta=25.1^\circ$ 、 $37.4^\circ$ 、 $48.2^\circ$ 、 $54.1^\circ$  和  $55.0^\circ$  处出现衍射峰, 与标准卡片(PDF 21-1272)比对, 归属于锐钛矿 TiO<sub>2</sub> 的特征衍射峰, 对应于锐钛矿 TiO<sub>2</sub> 的(101)、(004)、(200)、(105)及(211)衍射面, 属于四方晶系, 空间群为 I41/amd, 晶胞参数  $a=0.37852$  nm,  $c=0.95139$  nm。没有其它杂峰出现, 制得纯锐钛矿 TiO<sub>2</sub> 纤维。经 180℃、12 h 溶剂热处理后, 由图 1 b 可见, 谱线中不仅有 TiO<sub>2</sub> 的衍射峰, 还在  $2\theta=21.05^\circ$ 、 $24.70^\circ$ 、 $27.75^\circ$ 、 $30.10^\circ$ 、 $32.69^\circ$ 、 $35.39^\circ$ 、 $39.26^\circ$ 、 $41.46^\circ$ 、 $42.33^\circ$ 、 $52.54^\circ$  和  $55.83^\circ$  处出现了新衍射峰, 经与标准卡片(PDF 45-1344)比对, 归属于  $\gamma$ -Bi<sub>2</sub>O<sub>3</sub> 的特征衍射峰, 分别对应于  $\gamma$ -Bi<sub>2</sub>O<sub>3</sub> 的(211)、(220)、(310)、(222)、(321)、(400)、(420)、(332)、(422)、(530) 和(610)衍射面。属于立方晶系, 空间群为 I23, 晶胞参数  $a=1.02670$  nm。由此推断: Bi<sup>3+</sup>没有取代 Ti<sup>4+</sup>进入 TiO<sub>2</sub> 的晶格中, 而是生成了  $\gamma$ -Bi<sub>2</sub>O<sub>3</sub>, 并与 TiO<sub>2</sub> 纤维相复合形成  $\gamma$ -Bi<sub>2</sub>O<sub>3</sub>/TiO<sub>2</sub> 复合纤维。

### 2.2 SEM 和 EDS 分析

图 2 是 TiO<sub>2</sub> 纤维和  $\gamma$ -Bi<sub>2</sub>O<sub>3</sub>/TiO<sub>2</sub> 复合纤维的

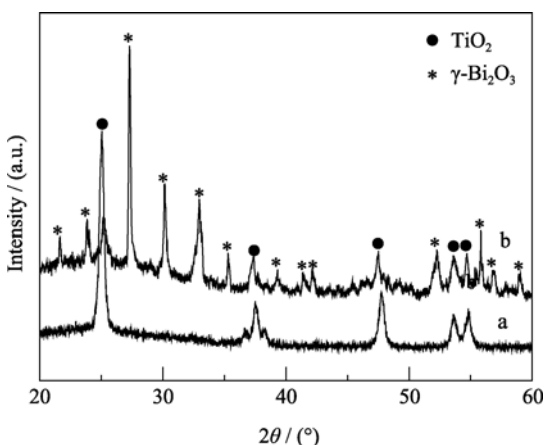


图 1 TiO<sub>2</sub> 纤维(a)和  $\gamma$ -Bi<sub>2</sub>O<sub>3</sub>/TiO<sub>2</sub> 复合纤维(b)的 XRD 图谱  
Fig. 1 XRD patterns of TiO<sub>2</sub> fibers (a) and  $\gamma$ -Bi<sub>2</sub>O<sub>3</sub>/TiO<sub>2</sub> composite fibers (b)

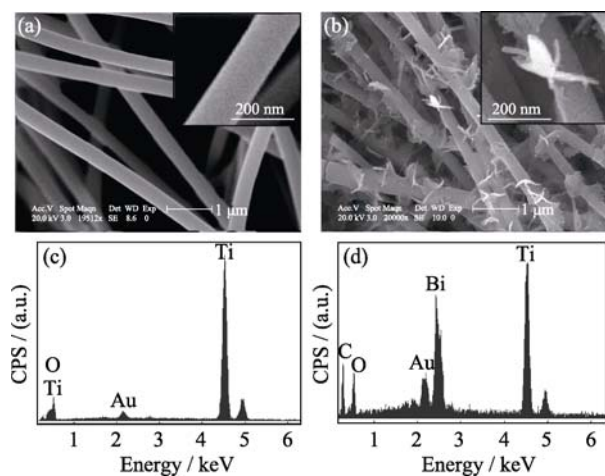


图 2 TiO<sub>2</sub> 纤维(a,c)、 $\gamma$ -Bi<sub>2</sub>O<sub>3</sub>/TiO<sub>2</sub>(b,d)复合纤维的 SEM 图片和 EDS 分析  
Fig. 2 SEM images and EDS spectra of TiO<sub>2</sub> fibers (a,c) and  $\gamma$ -Bi<sub>2</sub>O<sub>3</sub>/TiO<sub>2</sub> composite fibers (b,d)

SEM 照片和 EDS 分析。从图 2(a)可见, 静电纺丝制备的 TiO<sub>2</sub> 纤维, 粗细均匀, 表面光滑, 没有其它物种附着, 直径在 150~200 nm 之间。经 180℃、12 h 溶剂热反应后, 由图 2(b)可见,  $\gamma$ -Bi<sub>2</sub>O<sub>3</sub>/TiO<sub>2</sub> 复合纤维仍保持原来的纤维形态, 但纤维表面不再光滑, 有许多纳米片均匀生长在 TiO<sub>2</sub> 纤维上, 分散性良好, 没有团聚和交联现象发生, 进一步放大发现纤维上的纳米片厚度约为 20 nm, 平均直径约为 200~300 nm。EDS 分析结果表明(图 2(c)), TiO<sub>2</sub> 纤维只含有 Ti 和 O 两种元素, 只有 Au 来自于支撑材料的镀金铜网, 二者物质的量之比约为 1:2。由图 2(d)可见, 复合纤维材料中含有 Ti、O、Bi 三种元素(C 来自于铜网上的碳膜), Ti 与 Bi 物质的量比约为 9:2, 经换算 TiO<sub>2</sub> 与 Bi<sub>2</sub>O<sub>3</sub> 物质的量比为 9:1。

### 2.3 TEM 和 HRTEM 分析

图 3 是  $\gamma$ -Bi<sub>2</sub>O<sub>3</sub>/TiO<sub>2</sub> 复合纤维的 TEM 和 HRTEM 图片。由图 3(a)清晰可见 Bi<sub>2</sub>O<sub>3</sub> 纳米片均匀生长在 TiO<sub>2</sub> 纤维上, 纳米片的直径约为 200 nm, 与上述 SEM 分析结果相一致。HRTEM 分析结果显示  $\gamma$ -Bi<sub>2</sub>O<sub>3</sub>/TiO<sub>2</sub> 复合纤维具有异质结晶体点阵结构。对应的晶面间距已在图 3(b)中标出, 其中晶面间距为 0.35 nm 的晶面对应于锐钛矿 TiO<sub>2</sub> 的(101)面; 晶面间距为 0.29 nm 的晶面对应于  $\gamma$ -Bi<sub>2</sub>O<sub>3</sub> 的(222)面。由图 3(c)的选区电子衍射照片可见, 衍射斑点呈规则分布, 表明所获得的  $\gamma$ -Bi<sub>2</sub>O<sub>3</sub> 纳米片为单晶。

### 2.4 UV-Vis 分析

图 4 是 TiO<sub>2</sub> 纤维和  $\gamma$ -Bi<sub>2</sub>O<sub>3</sub>/TiO<sub>2</sub> 复合纤维的 UV-Vis 吸收光谱图。由图 4(a)可见, TiO<sub>2</sub> 纤维只在紫外光区有吸收, 吸收边位于 386 nm 处。而

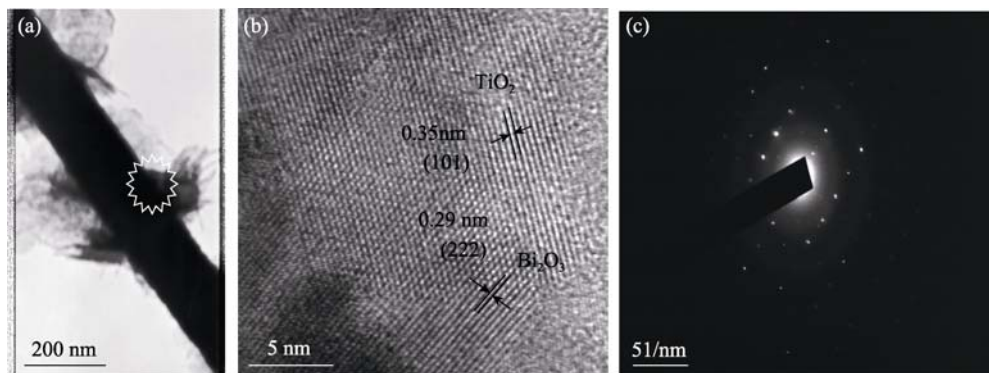


图 3  $\gamma\text{-Bi}_2\text{O}_3/\text{TiO}_2$  复合纤维的 TEM、HRTEM 照片和 SAED 图案  
Fig. 3 TEM, HRTEM images and SAED pattern of  $\gamma\text{-Bi}_2\text{O}_3/\text{TiO}_2$  composite fibers

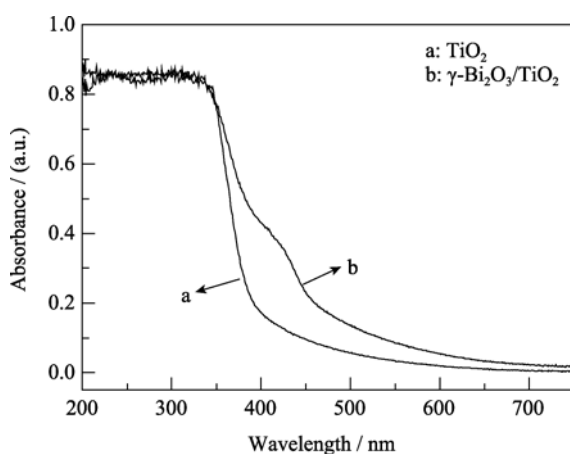


图 4  $\text{TiO}_2$  纤维(a)和  $\gamma\text{-Bi}_2\text{O}_3/\text{TiO}_2$  复合纤维(b)的 UV-Vis 吸收光谱图

Fig. 4 UV-Vis absorption spectra of  $\text{TiO}_2$  fibers (a) and  $\gamma\text{-Bi}_2\text{O}_3/\text{TiO}_2$  composite fibers (b)

$\gamma\text{-Bi}_2\text{O}_3/\text{TiO}_2$  复合纤维吸收边向可见光方向发生红移, 吸收边扩展到 480 nm, 表明  $\gamma\text{-Bi}_2\text{O}_3/\text{TiO}_2$  复合纤维具有良好的可见光吸收能力.

## 2.5 异质结的形成机理

乙二醇对极性化合物具有较强的溶解能力, 当  $\text{Bi}(\text{NO}_3)_3$  加入到乙二醇溶液中,  $\text{Bi}^{3+}$ 与醇羟基通过配位作用生成  $\text{Bi}_2(\text{OC}_2\text{H}_4\text{O})_3$ , 然后氧化生成  $\text{Bi}_2\text{O}_3$ ,

其化学反应方程式如下<sup>[18-19]</sup>:

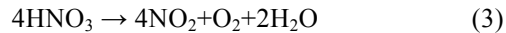
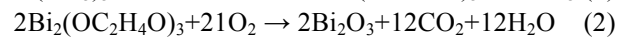
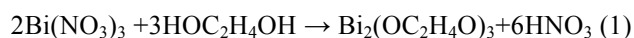


图 5 是  $\gamma\text{-Bi}_2\text{O}_3/\text{TiO}_2$  异质结形成机理示意图. 在  $\gamma\text{-Bi}_2\text{O}_3/\text{TiO}_2$  异质结形成过程中,  $\text{Bi}_2\text{O}_3$  晶体的生长可分为成核、生长和熟化三个阶段<sup>[20]</sup>. 首先,  $\text{Bi}^{3+}$ 与乙二醇之间存在配位作用, 形成相对稳定的配合物  $\text{Bi}_2(\text{OC}_2\text{H}_4\text{O})_3$ , 与此同时, 由于  $\text{TiO}_2$  纤维具有高多孔结构, 其表面是极性的,  $\text{Bi}_2(\text{OC}_2\text{H}_4\text{O})_3$  与  $\text{TiO}_2$  纤维表面的氧通过氢键相互作用被吸附在  $\text{TiO}_2$  纤维上,  $\text{Bi}_2(\text{OC}_2\text{H}_4\text{O})_3$  被氧化生成  $\text{Bi}_2\text{O}_3$ , 通过桥氧键与  $\text{TiO}_2$  纤维相连接( $\text{Bi}-\text{O}-\text{Ti}$ ), 使  $\text{Bi}_2\text{O}_3$  在  $\text{TiO}_2$  纤维上优先成核. 其次, 由于晶核具有极高的表面能, 处于热力学的不稳定状态,  $\text{Bi}_2\text{O}_3$  在纤维表面的晶核上聚集, 晶核不断长大<sup>[21-22]</sup>, 超过一定的临界值时, 就处于相对稳定状态. 最后, 依据奥斯特瓦尔德熟化机制<sup>[23]</sup>, 晶体形貌的形成是速率控制生长的过程, 受动力学因素的控制. 溶液中极性有机物的存在可以改变晶体的表面能, 其相对生长速率也随之变化而影响晶体形态<sup>[24-25]</sup>. 由 XRD 可知, 与标准卡片相比,  $\text{Bi}_2\text{O}_3$  的(310)与(321)晶面的衍射峰强度增强, 且(321)晶面的衍射峰出现了宽化; 又由 HRTEM 照片

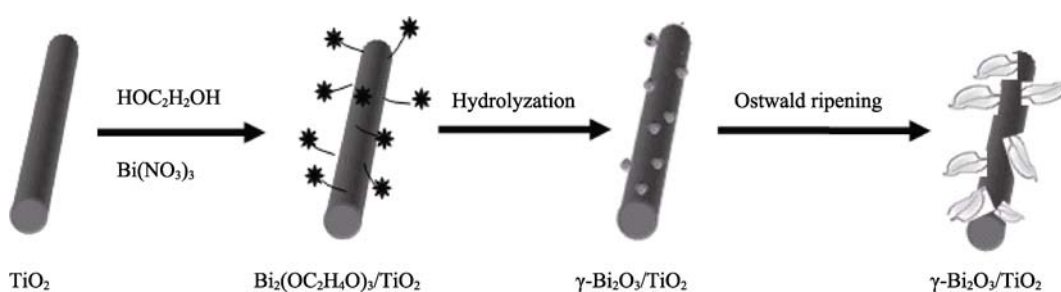


图 5  $\gamma\text{-Bi}_2\text{O}_3/\text{TiO}_2$  异质结形成机理示意图  
Fig. 5 Scheme for the growth mechanism of  $\gamma\text{-Bi}_2\text{O}_3/\text{TiO}_2$  composite fibers heterojunction

可知, Bi<sub>2</sub>O<sub>3</sub>的(222)晶面与基质模板 TiO<sub>2</sub>的(101)晶面相连接, 表明 Bi<sub>2</sub>O<sub>3</sub>纳米粒子是沿着(310)与(321)晶面方向进行了取向生长, 形成了纳米片形状。

## 2.6 光催化活性评价

图 6 是 TiO<sub>2</sub>纤维和  $\gamma$ -Bi<sub>2</sub>O<sub>3</sub>/TiO<sub>2</sub>复合纤维材料光催化降解 RB 图。RB 是一个含 Cl、N-己基和羧基的有机大分子, 在生产和生活中是产生水污染的有机物之一, 其水溶液的 UV-Vis 吸收曲线于波长 554 nm 处显示出极大值吸收峰。在可见光照射下,  $\gamma$ -Bi<sub>2</sub>O<sub>3</sub>/TiO<sub>2</sub>复合纤维材料表现出良好的可见光催化活性, 随着光照时间的延长, 降解速率逐渐减小, 光照 8 h 后, RB 的脱色率达 87.8%。相同条件下, 纯 TiO<sub>2</sub>纤维的脱色率仅有 14.5%, 表明 TiO<sub>2</sub>与  $\gamma$ -Bi<sub>2</sub>O<sub>3</sub>的复合有效提高了 TiO<sub>2</sub>在可见光条件下的光催化活性。

可见光催化活性提高的原因主要有以下二方面: 一方面, 纳米片状  $\gamma$ -Bi<sub>2</sub>O<sub>3</sub>与 TiO<sub>2</sub>纤维复合, 在光催化反应中, 增加了催化剂与反应物的接触面积, 使反应物分子易于在催化剂表面吸附, 能充分与光生载流子发生反应。由图 7 可见, 当具有一定光照能量时, Bi<sub>2</sub>O<sub>3</sub>发生带间跃迁, 其价带电子受光激发形

成光生电子跃迁到导带上, 由于 TiO<sub>2</sub>导带能级比 Bi<sub>2</sub>O<sub>3</sub>导带能级低, 因此 Bi<sub>2</sub>O<sub>3</sub>导带上的光生电子向 TiO<sub>2</sub>的导带上迁移, 光生电子在不同能级半导体之间输送和分离, 抑制了光生电子和空穴的复合, 提高了量子产率。另一方面, 通过紫外可见吸收光谱可知,  $\gamma$ -Bi<sub>2</sub>O<sub>3</sub>/TiO<sub>2</sub>的吸收边红移至 480 nm 处, 在可见光区域产生新吸收带, 拓宽了光谱相应范围。因此,  $\gamma$ -Bi<sub>2</sub>O<sub>3</sub>/TiO<sub>2</sub>复合纤维材料的可见光催化活性提高。

## 3 结论

1) 以 Ti(OBu)<sub>4</sub> 和 PVP 为前驱体, 利用静电纺丝技术合成 PVP/Ti(OBu)<sub>4</sub>复合纤维, 经 500℃煅烧, 制得锐钛矿 TiO<sub>2</sub>纤维, 并以此为基质模板, 在 Bi(NO<sub>3</sub>)<sub>3</sub>的水-乙二醇混合溶液中, 通过溶剂热法, 制备了具有异质结构的  $\gamma$ -Bi<sub>2</sub>O<sub>3</sub>/TiO<sub>2</sub>复合纤维光催化材料。

2) 纳米片 Bi<sub>2</sub>O<sub>3</sub>与 TiO<sub>2</sub>纤维的有效复合, 增加了体系对电荷的分离效率, 拓宽了其光谱响应范围。脱色降解 RB 实验结果表明: 在可见光条件下,  $\gamma$ -Bi<sub>2</sub>O<sub>3</sub>/TiO<sub>2</sub>复合纤维光催化脱色率达到 87.8%。

## 参考文献:

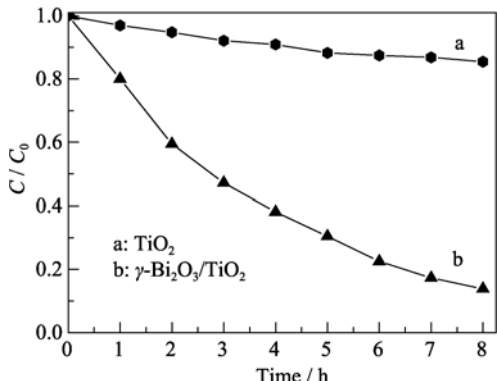


图 6 TiO<sub>2</sub>纤维和  $\gamma$ -Bi<sub>2</sub>O<sub>3</sub>/TiO<sub>2</sub>复合纤维光催化降解 RB 图  
Fig. 6 Photocatalytic degradation of RB over different catalysts

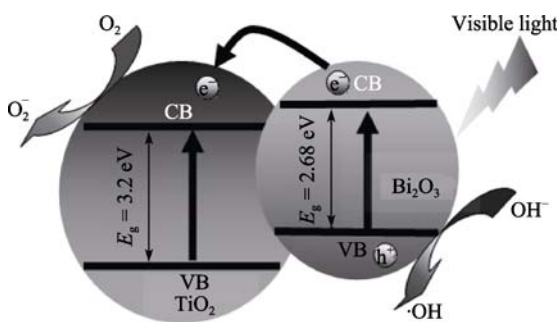


图 7  $\gamma$ -Bi<sub>2</sub>O<sub>3</sub>/TiO<sub>2</sub>异质结的能带结构及电子-空穴对的迁移  
Fig. 7 Schematic diagram showing the energy band structure and electron-hole pair separation in the  $\gamma$ -Bi<sub>2</sub>O<sub>3</sub>/TiO<sub>2</sub> heterostructure

- [1] Fujishima A, Honda K. Electrochemical photolysis of water at a semiconductor electrode. *Nature*, 1972, **238**(5358): 37–38.
- [2] Fujishima A, Zhang X T, Tryk D A. TiO<sub>2</sub> photocatalysis and related surface phenomena. *Surf. Sci. Rep.*, 2008, **63**(12): 515–582.
- [3] Chen X B, Shen S H, Guo L J, et al. Semiconductor-based photocatalytic hydrogen generation. *Chem. Rev.*, 2010, **110**(11): 6503–6570.
- [4] ZHOU Wen-Qian, LU Yu-Ming, CHEN Chang-Zhao, et al. Effect of Li-doped TiO<sub>2</sub> compact layers for dye sensitized solar cell. *Journal of Inorganic Materials*, 2011, **26**(8): 819–822.
- [5] Cao T P, Li Y J, Shao C L, et al. Fabrication, structure, and enhanced photocatalytic properties of hierarchical CeO<sub>2</sub> nanostructures/TiO<sub>2</sub> nanofibers heterostructures. *Materials Research Bulletin*, 2010, **45**(10): 1406–1412.
- [6] Chen X B, Mao S S. Titanium dioxide nanomaterials: synthesis, properties, modifications, and applications. *Chem. Rev.*, 2007, **107**(7): 2891–2959.
- [7] Subramanian V, Wolf E E, Kamat P V. Catalysis with TiO<sub>2</sub>/gold nanocomposites. effect of metal particle size on the fermi level equilibration. *J. Am. Chem. Soc.*, 2004, **126**(15): 4943–4950.
- [8] Cabot A, Marsal A, Arbiol J, et al. Bi<sub>2</sub>O<sub>3</sub> as a selective sensing material for NO detection. *Sensors and Actuators B*, 2004, **99**(1):

- 74–89.
- [9] Drache M, Roussel P, Wignacourt J P. Structures and oxide mobility in Bi-Ln-O materials: heritage of  $\text{Bi}_2\text{O}_3$ . *Chem. Rev.*, 2007, **107(1)**: 80–96.
- [10] Harwig H A, Gerards A G. Electrical properties of the  $\alpha$ ,  $\beta$ ,  $\gamma$  and  $\delta$  phases of bismuth sesquioxide. *Journal of Solid State Chemistry*, 1978, **26**: 265–274.
- [11] Harwig H A. On the structure of bismuthsesquioxide: the alpha,beta, gamma and delta-phase. *Zeitschrift fur Anorganische und Allgemeine Chemie*, 1978, **444**: 151–166.
- [12] Wang C H, Shao C L, Wang L J, et al. Electrospinning preparation, characterization and photocatalytic properties of  $\text{Bi}_2\text{O}_3$  nanofibers. *J. Colloid Interf. Sci.*, 2009, **333(1)**: 242–248.
- [13] Bessekhouad Y, Robert D, Weber J V. Photocatalytic activity of  $\text{Cu}_2\text{O}/\text{TiO}_2$ ,  $\text{Bi}_2\text{O}_3/\text{TiO}_2$  and  $\text{ZnMn}_2\text{O}_4/\text{TiO}_2$  heterojunctions. *Catal. Today*, 2005, **101(3/4)**: 315–321.
- [14] 邹文, 郝维昌, 信心, 等. 不同晶型  $\text{Bi}_2\text{O}_3$  可见光光催化降解罗丹明 B 的研究. 无机化学学报(Chinese J. Inorg. Chem.), 2009, **25(11)**: 1971–1976.
- [15] Zhang L S, Wang W Z, Yang J, et al. Sonochemical synthesis of nanocrystallite  $\text{Bi}_2\text{O}_3$  as a visible-light-driven photocatalyst. *Applied Catalysis A: General*, 2006, **308(7)**: 105–110.
- [16] He W D, Qin W, Wu X H, et al. The photocatalytic properties of bismuth oxide films prepared through the Sol-Gel method. *Thin Solid Films*, 2007, **515(13)**: 5362–5365.
- [17] Gurunathan K. Photocatalytic hydrogen production using transition metal ions-doped  $\gamma$ - $\text{Bi}_2\text{O}_3$  semiconductor particles. *International Journal of Hydrogen Energy*, 2004, **29(9)**: 933–940.
- [18] Cloutt B A, Sagatys D S, Smith G, et al. The preparation and crystal structure of a unique bismuth complex with ethylene glycol: the tris [ethane1,2-diolato(2-)] dibismuth(III) polymer hydrate. *Aust. J. Chem.*, 1997, **50**: 947–950.
- [19] Bian Z F, Ren J, Zhu J, et al. Self-assembly of  $\text{Bi}_x\text{Ti}_{1-x}\text{O}_2$  visible photocatalyst with core–shell structure and enhanced activity. *Appl. Catal. B: Environ.*, 2009, **89(3)**: 577–582.
- [20] Cao X B, Lan X M, Guo Y, et al. Preparation and characterization of bifunctional  $\text{ZnO}/\text{ZnS}$  nanoribbons decorated by gamma- $\text{Fe}_2\text{O}_3$  clusters. *J. Phys. Chem. C*, 2007, **111(51)**: 18958–18964.
- [21] Masuda Y, Ieda S, Koumoto K. Site-selective deposition of anatase  $\text{TiO}_2$  in an aqueous solution using a seed layer. *Langmuir*, 2003, **19(10)**: 4415–4419.
- [22] Yu H G, Lee S C, Yu J G, et al. Photocatalytic activity of dispersed  $\text{TiO}_2$  particles deposited on glass fibers. *J. Mol. Catal. A*, 2006, **246(1/2)**: 206–211.
- [23] Kabalnov J, Disper. Ostwald ripening and related phenomena. *J. Disper. Sci. Technol.*, 2001, **22(1)**: 1–12.
- [24] Yu J G, Guo H G, Davis S A, et al. Fabrication of hollow inorganic microspheres by chemically induced self-transformation. *Adv. Funct. Mater.*, 2006, **16(15)**: 2035–2041.
- [25] Yu J G, Zhao X F, Liu S W, et al. Poly(methacrylic acid)-mediated morphosynthesis of  $\text{PbWO}_4$  micro-crystals. *Appl. Phys. A-Mater. Sci. Proc.*, 2007, **87(1)**: 113–120.